

ИОНИЗАЦИОННОЕ САМОКАНАЛИРОВАНИЕ СВИСТОВЫХ ВОЛН В СТОЛКНОВИТЕЛЬНОЙ ЗАМАГНИЧЕННОЙ ПЛАЗМЕ

А. В. Кудрин, Л. Е. Курина, Г. А. Марков

*Нижегородский государственный университет
603600, Нижний Новгород, Россия*

Поступила в редакцию 18 февраля 1997 г.

Исследуется самовоздействие волн свистового диапазона (вистлеров), заключающееся в формировании волноводных каналов в столкновительной магнитоактивной плазме вследствие ее дополнительной ионизации полем распространяющейся волны. Выведены упрощенные уравнения, позволяющие описывать поведение поля вистлера в канале с повышенной плотностью плазмы при наличии электронных соударений. На основании численного решения уравнений для поля совместно с уравнениями баланса плотности и энергии электронов получены самосогласованные распределения поля и плазмы, отвечающие стационарному ионизационному самоканалированию вистлеров. Приведены оценки, свидетельствующие о возможности наблюдения данного эффекта в лабораторных условиях.

1. ВВЕДЕНИЕ

Исследованию особенностей формирования в замагниченной плазме волноводных каналов, возникающих вследствие различных нелинейных эффектов при распространении мощных волновых пучков, посвящено большое число работ (см., например, [1–5] и цитируемую там литературу). В последние годы повышенное внимание к этим вопросам обусловлено постановкой ряда новых лабораторных и ионосферных экспериментов по созданию вытянутых вдоль внешнего магнитного поля самосогласованных плазменных структур с контролируемыми свойствами [6–10]. Применительно к плазме ионосферного типа особый интерес вызывает возможность самоканалирования интенсивных электромагнитных волн, принадлежащих свистовому диапазону частот

$$(\Omega_H \omega_H)^{1/2} < \omega \ll \omega_H \ll \omega_p \quad (1)$$

(ω_H и ω_p — соответственно гирочастота и плазменная частота электронов, Ω_H — гирочастота ионов). Это объясняется, в частности, тем, что свистовые волны (вистлеры), существующие в естественных условиях околоземного космического пространства, играют весьма важную роль во многих как фундаментальных, так и прикладных проблемах физики космической плазмы [11]. Поэтому изучение особенностей распространения и самовоздействия мощных волновых пучков в свистовом диапазоне представляет значительный интерес для разработки новых методов исследования ионосферы и магнитосферы, связанных с активным воздействием на околоземную плазму, а также для ряда других близких приложений (см. [6, 12]). Вопросы эффективного возбуждения вистлеров и передачи их энергии плазме привлекают повышенное внимание и в связи с возможностями использования этих волн в современных лабораторных и технологических плазменных установках, например, в геликонных источниках плазмы [13–16].

Следует отметить, что в большинстве теоретических работ, посвященных самовоздействию волн свистового диапазона, рассматриваются в основном широкие в масштабе длины распространяющейся волны бесстолкновительные или слабостолкновительные каналы с малым перепадом плотности плазмы в поперечном направлении. Обычно такие каналы (дакты плотности) возникают в замагниченной плазме при преобладающем влиянии стрикционных или тепловых нелинейных эффектов [5, 7, 10]. Ситуация, однако, существенно меняется в случае дополнительной ионизации фоновой плазмы полем волны. Возникающие при наличии ионизационной нелинейности каналы с повышенной плотностью имеют, как правило, ширину, сравнимую с длиной свистовой волны, и часто характеризуются заметным перепадом плотности по радиусу [6]. Кроме того, даже в бесстолкновительном пределе постоянные распространения направляемых такими плазменными образованиями волноводных мод являются в диапазоне (1) комплексными из-за утечки последних в окружающую среду в виде мелкомасштабных квазиэлектростатических волн [5, 17]. Указанное своеобразие каналирования вистлеров существенно затрудняет математическое описание их ионизационного самовоздействия, приводящего к образованию дактов с повышенной плотностью. В частности, для плазмы со сравнительно малыми значениями эффективной частоты соударений электронов ν_e , когда основным механизмом потерь энергии из канала является излучение в фоновую плазму квазиэлектростатических волн, теория ионизационного самоканалирования вистлеров еще не построена. Однако в случае достаточного больших значений ν_e , отвечающих заметному столкновительному затуханию квазиэлектростатических волн, этот эффект (при одновременном соблюдении условия $\nu_e \ll \omega_H$) может быть проанализирован в рамках некоторой упрощенной модели. Рассмотрению стационарного ионизационного самоканалирования свистовых волн применительно к данному частному случаю и посвящена настоящая работа.

2. ОСНОВНЫЕ УРАВНЕНИЯ

Описание полной картины ионизационного самоканалирования вистлеров является довольно сложной задачей. Однако ключевой вопрос о возможности существования в столкновительной замагниченной плазме стационарных волноводных структур, поддерживаемых путем дополнительной ионизации фоновой среды полем захваченных свистовых волн, а также наиболее характерные особенности данного эффекта можно исследовать, если пренебречь в первом приближении зависимостью параметров плазменного канала и абсолютного значения амплитуды волнового поля в нем от продольной координаты, т. е. ограничиться рассмотрением однородных вдоль внешнего магнитного поля $\mathbf{H}_0 = H_0 \mathbf{z}_0$ плазменных образований. Как мы убедимся далее, такая модель является вполне адекватной при сравнительно слабом поглощении вистлера ($\nu_e \ll \omega_H$). В дальнейшем мы будем рассматривать только аксиально-симметричные распределения поля и плазмы. В этом случае с учетом принятых идеализаций поперечная структура поля

$$\frac{1}{2} [\mathbf{E}(\rho) \exp(i\omega t - ihz) + \text{c.c.}], \quad \frac{1}{2} [\mathbf{H}(\rho) \exp(i\omega t - ihz) + \text{c.c.}]$$

вистлера, распространяющегося вдоль \mathbf{H}_0 , описывается следующими уравнениями:

$$\Delta_{\perp} E_{\varphi} - \frac{E_{\varphi}}{\rho^2} + \left(\frac{k_0^4 g^2}{h^2 - k_0^2 \varepsilon} - h^2 + k_0^2 \varepsilon \right) E_{\varphi} = \frac{k_0^2 g h}{h^2 - k_0^2 \varepsilon} \frac{dE_z}{d\rho}, \tag{2}$$

$$\Delta_{\perp} E_z + \frac{h^2}{h^2 - k_0^2 \varepsilon} \frac{1}{\varepsilon} \frac{d\varepsilon}{d\rho} \frac{dE_z}{d\rho} - \frac{\eta}{\varepsilon} (h^2 - k_0^2 \varepsilon) E_z = \frac{h}{\varepsilon} (h^2 - k_0^2 \varepsilon) \frac{1}{\rho} \frac{d}{d\rho} \frac{\rho g E_{\varphi}}{h^2 - k_0^2 \varepsilon},$$

$$E_{\rho} = \frac{i}{h^2 - k_0^2 \varepsilon} \left(h \frac{dE_z}{d\rho} - k_0^2 g E_{\varphi} \right), \quad \mathbf{H} = i k_0^{-1} \text{rot} \mathbf{E}, \quad \Delta_{\perp} = \frac{1}{\rho} \frac{d}{d\rho} \left(\rho \frac{d}{d\rho} \right).$$

Здесь $k_0 = \omega/c$ — волновое число в вакууме, $h = k_0 p$ — постоянная распространения вистлера, ρ, φ, z — цилиндрические координаты, ε, g, η — компоненты тензора диэлектрической проницаемости плазмы

$$\hat{\varepsilon} = \begin{pmatrix} \varepsilon & -ig & 0 \\ ig & \varepsilon & 0 \\ 0 & 0 & \eta \end{pmatrix}. \tag{3}$$

В рассматриваемом диапазоне частот (1) при выполнении дополнительного условия

$$(\Omega_H \omega_H)^{1/2} \ll |\omega - i\nu_e| \ll \omega_H \tag{4}$$

компоненты тензора (3) имеют вид [18]

$$\varepsilon = \frac{\omega_p^2}{\omega_H^2} \left(1 - i \frac{\nu_e}{\omega} \right), \quad g = -\frac{\omega_p^2}{\omega \omega_H} \left(1 - i \frac{2\nu_e \omega}{\omega_H^2} \right), \tag{5}$$

$$\eta = -\frac{\omega_p^2}{\omega^2} \left(1 - i \frac{\nu_e}{\omega} \right)^{-1}.$$

При не слишком малых значениях эффективной частоты соударений ν_e уравнения (2) могут быть существенно упрощены. Прежде чем выполнить соответствующие упрощения, напомним, что структура поля мод, направляемых в диапазоне частот (1) каналом с повышенной плотностью плазмы, характеризуется наличием двух различных поперечных масштабов — крупного, отвечающего поддерживаемым каналом свистовым волнам, и мелкого, отвечающего квазиэлектростатическим волнам, уносящим часть энергии в фоновую плазму [5, 17]. Из-за утечки энергии постоянные распространения p становятся комплексными: $p = p' - ip''$. Заметим, что в бесстолкновительном пределе мелкомасштабная составляющая преобладает в радиальной и продольной компонентах электрического поля и достаточно хорошо заметна в остальных компонентах [19]. При наличии столкновений для квазиэлектростатических волн имеет место явление, аналогичное скин-эффекту, — начиная с некоторого значения частоты соударений ν_e , мелкомасштабная составляющая поля оказывается сосредоточенной в сравнительно тонком слое вблизи области перепада плотности плазмы $N(\rho)$. Опираясь на некоторые результаты работы [19], обобщенные на случай столкновительной плазмы, нетрудно убедиться, что в случае

$$\text{Im}(k_0 a p (-\eta/\varepsilon)^{1/2}) = k_0 a p' \frac{\omega_H}{\omega(1 + \nu_e^2/\omega^2)} \left(\frac{\nu_e}{\omega} - \frac{p''}{p'} \right) \gg 1, \tag{6}$$

где a — характерный масштаб распределения плотности плазмы по поперечной координате, при одновременном выполнении условия

$$|p|^2 \gg 4|\varepsilon| \tag{7}$$

структура поля в центральной части канала определяется преимущественно крупномасштабной составляющей. Отметим, что при малом перепаде плотности N по радиусу канала, когда $(N/N_0 - 1)^2 \ll \min\{1, k_0 a p' \nu_e / \omega\} (N_0 - \text{плотность фоновой плазмы})$, для постоянной затухания p'' основной моды имеет место формула

$$p'' \approx \frac{\nu_e}{2\omega_H} p'. \tag{8}$$

С учетом этой формулы и условия (4) неравенство (6) упрощается:

$$k_0 a p' \frac{\omega_H \nu_e}{\omega^2 + \nu_e^2} \gg 1. \tag{9}$$

Очевидно, что для достаточно больших значений параметра $(\omega_H / \omega) k_0 a p'$ условие (9) выполняется, даже если эффективная частота соударений ν_e мала по сравнению с круговой частотой ω . Поэтому в диапазоне частот (1) учет влияния электронных соударений на характеристики мод, направляемых каналами с повышенной плотностью, может иметь принципиальное значение и приводить, в частности, к заметному изменению структуры поля мод по сравнению со случаем бесстолкновительной плазмы.

Сказанное выше наглядно иллюстрируется представленными на рис. 1 и 2 результатами расчетов структуры поля, выполненных на основании решения уравнений (2) для простейшего модельного профиля плотности

$$N(\rho) = N_0 + (\tilde{N} - N_0) [1 - U(\rho - a)] \tag{10}$$

и двух частных случаев $\nu_e = 0$ и $\nu_e = 0.25\omega$ при заданных параметрах $k_0 a = 0.12$, $\omega_H / \omega = 8.8$, $\omega_{p0} / \omega = 56.5$, $\tilde{N} / N_0 = 1.5$ (U — функция Хевисайда, \tilde{N} — плотность плазмы внутри канала, ω_{p0} — плазменная частота, отвечающая фоновой плотности N_0). В обоих указанных случаях в канале может распространяться лишь низшая (основная) мода, комплексная постоянная распространения которой равна $p = 21.10 - i \cdot 1.34 \cdot 10^{-2}$ при $\nu_e = 0$ (см. рис. 1) и $p = 21.18 - i \cdot 0.79$ при $\nu_e = 0.25\omega$ (см. рис. 2). Заметим, что на приведенных здесь графиках не изображены зависимости величин $\text{Re } E_\rho$, $\text{Im } E_{\varphi,z}$, $\text{Im } H_\rho$, $\text{Re } H_{\varphi,z}$ от поперечной координаты ρ , которые существенно меньше по абсолютному значению соответствующих величин $\text{Im } E_\rho$, $\text{Re } E_{\varphi,z}$, $\text{Re } H_\rho$, $\text{Im } H_{\varphi,z}$.

Результаты проведенного рассмотрения позволяют при выполнении условий (6) и (7) использовать для описания поля в столкновительном канале сравнительно простые приближенные уравнения, которые несложно получить из строгих уравнений (2). Для этого перепишем уравнения (2) в виде

$$\begin{aligned} \frac{d^2 E_\varphi}{d\zeta^2} + \frac{1}{\zeta} \frac{dE_\varphi}{d\zeta} - \frac{E_\varphi}{\zeta^2} + (k_0 a \hat{q}_1)^2 E_\varphi &= k_0 a p \frac{g}{p^2 - \varepsilon} \frac{dE_z}{d\zeta}, \\ \chi^2 \left(\frac{d^2 E_z}{d\zeta^2} + \frac{1}{\zeta} \frac{dE_z}{d\zeta} + \frac{p^2}{p^2 - \varepsilon} \frac{1}{\varepsilon} \frac{d\varepsilon}{d\zeta} \frac{dE_z}{d\zeta} \right) - \frac{\varepsilon}{p^2 \eta} \hat{q}_2^2 E_z &= -\chi \frac{p^2 - \varepsilon}{g'} \frac{1}{\zeta} \frac{d}{d\zeta} \left(\frac{\zeta g' E_\varphi}{p^2 - \varepsilon} \right), \end{aligned} \tag{11}$$

где

$$\begin{aligned} \hat{q}_1^2 &= \frac{g^2}{p^2 - \varepsilon} - p^2 + \varepsilon, \quad \hat{q}_2^2 = -\frac{\eta}{\varepsilon} (p^2 - \varepsilon), \\ \chi &= \frac{\omega - i\nu_e}{\omega_H} \frac{1}{k_0 a p}, \quad \zeta = \frac{\rho}{a}, \quad g' = \text{Re } g \quad (|\text{Re } g| \gg |\text{Im } g|). \end{aligned}$$

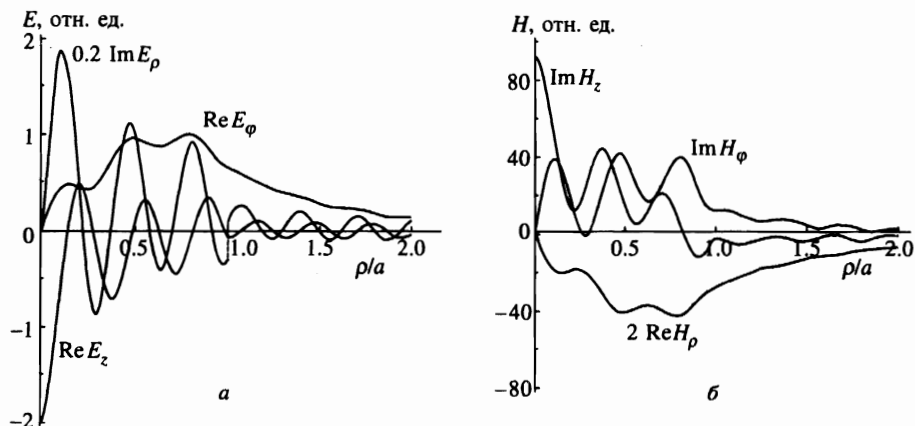


Рис. 1. Структура поля основной моды при отсутствии соударений: $\nu_e = 0$, $\tilde{N}/N_0 = 1.5$, $\omega_{p0}/\omega = 56.5$, $\omega_H/\omega = 8.8$, $k_0 a = 0.12$

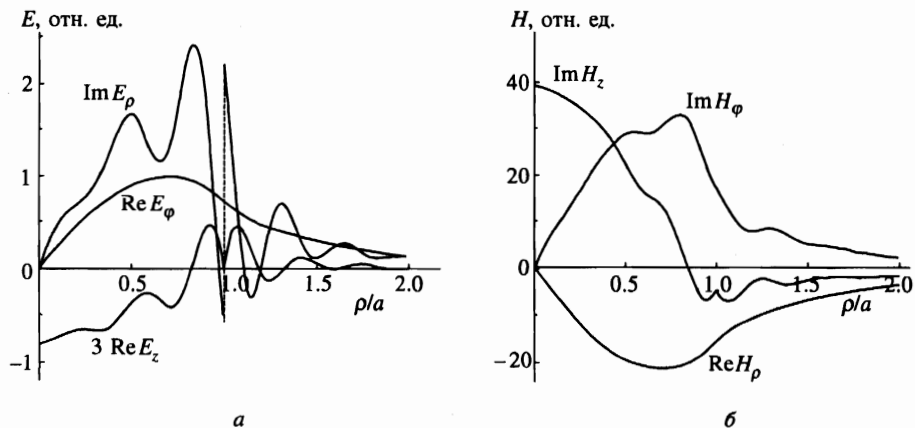


Рис. 2. Структура поля основной моды при наличии соударений: $\nu_e = 0.25\omega$, остальные параметры те же, что и на рис. 1

Здесь учтены выражения (5). Принимая во внимание неравенство $k_0 a p' \geq 1$, выполняющееся для азимутально-симметричных свистовых мод в канале с повышенной плотностью [19], нетрудно убедиться, что в рассматриваемом случае (4) справедливы соотношения $|\chi| \ll 1$, $|\varepsilon \hat{q}_2^2 / p^2 \eta| \simeq 1$ ($|\chi| \sim |\hat{q}_1| / |\hat{q}_2|$), позволяющие использовать при анализе системы (11) метод возмущений. Возвращаясь к размерной координате ρ , в нулевом порядке теории возмущений ($\chi = 0$) из первого уравнения данной системы получаем

$$\frac{d^2 E_\varphi}{d\rho^2} + \frac{1}{\rho} \frac{dE_\varphi}{d\rho} - \frac{E_\varphi}{\rho^2} + k_0^2 \left(\frac{g'^2}{p^2} - p^2 \right) E_\varphi = 0. \quad (12)$$

При этом

$$E_\rho = -i g' p^{-2} E_\varphi \quad (13)$$

и $E_z = 0$. Нетривиальное выражение для продольной компоненты электрического поля дает следующий (первый) порядок теории возмущений:

$$E_z = -\frac{1}{k_0 p \eta} \frac{1}{\rho} \frac{d}{d\rho} (\rho g' E_\varphi). \tag{14}$$

Во избежание недоразумений отметим, что в (12)–(14) мы пренебрегли некоторыми малыми членами порядка ε/p^2 , ν_e/ω_H . Существенно, что при выводе этих формул не предполагается малости изменения плотности N по поперечной координате. Уравнение (12) и выражения (13), (14) позволяют определить структуру крупномасштабных составляющих полей мод, а также их действительные постоянные распространения $p = p'$ (при отыскании p малые потери энергии на излучение и диссипацию в рамках данного приближения просто не учитываются)¹⁾. Поскольку в случае (6) поведение поля в столкновительных каналах с повышенной плотностью плазмы определяется именно крупномасштабными составляющими, полученные соотношения оказываются весьма удобными для анализа ионизационного самовоздействия свистовых волн, приводящего к формированию таких каналов.

Уравнение (12) и выражения (13) и (14) должны рассматриваться совместно с уравнениями баланса энергии и плотности плазмы [21]. Будем считать, что в плазменном канале, возникающем при пробое и дополнительной ионизации фоновой среды полем вистлера, выполняются следующие соотношения:

$$\nu_{ei} \ll \nu_{em}, \quad \delta_{em} \nu_{em} \ll \omega, \quad \delta_{ei} \nu_{ei} \ll \nu_{im}. \tag{15}$$

Здесь ν_{im} , ν_{em} и ν_{ei} — частоты столкновений ионов и электронов с нейтральными молекулами и ионами соответственно ($\nu_e = \nu_{em} + \nu_{ei}$), δ_{em} , δ_{ei} — средние относительные доли энергии, теряемой электронами при соударениях с нейтральными молекулами и ионами. Последнее неравенство в (15) позволяет не учитывать нагрев ионов [21]. Полагая, что характерные масштабы неоднородности амплитуды поля достаточно велики, можно пренебречь вкладом теплопроводности в формирование профиля электронной температуры T_e и представить стационарное распределение T_e в виде

$$T_e = T_{e0} + \frac{e^2}{3m\delta_{em}\omega_H^2} \left[|E_\rho|^2 + |E_\varphi|^2 + 4\frac{\omega}{\omega_H} \text{Im}(E_\rho E_\varphi^*) + \frac{\omega_H^2}{\omega^2 + \nu_e^2} |E_z|^2 \right] \tag{16}$$

(e и m — заряд и масса электрона, T_{e0} — фоновое значение температуры электронов). При получении формулы (16) были использованы выражения (5) для компонент тензора диэлектрической проницаемости плазмы.

Для описания стационарного распределения плотности плазмы N по поперечной координате воспользуемся уравнением баланса плотности [21]

$$\frac{1}{\rho} \frac{d}{d\rho} \left(\rho D_\perp \frac{dN}{d\rho} \right) + (\nu_i - \nu_a)N - \alpha N^2 + q_{ext} = 0, \tag{17}$$

¹⁾ Следует отметить, что уравнение (12) отвечает, по существу, приближению одножидкостной электронной магнитной гидродинамики [20]. Однако получение выражения (14), необходимого для дальнейшего рассмотрения, требует уже выхода за рамки этого приближения.

в котором D_{\perp} — коэффициент диффузии плазмы поперек магнитного поля, ν_i — частота ионизации нейтральных молекул электронным ударом, ν_a — частота прилипания электронов, α — коэффициент электрон-ионной рекомбинации, q_{ext} — интенсивность внешнего источника ионизации, поддерживающего равновесное значение плотности N_0 :

$$q_{ext} = (\alpha_0 N_0 + \nu_{a0} - \nu_{i0}) N_0$$

(индекс нуль отмечает фоновые значения соответствующих величин). Здесь учтено, что при достаточно большой протяженности плазменного канала вдоль внешнего магнитного поля, которая, как мы увидим далее, реализуется в рассматриваемой области значений параметров, можно пренебречь продольной диффузией плазмы. Поперечная диффузия в этом случае является амбиполярной. Коэффициент D_{\perp} при условиях $T_e \gg T_i$ (T_i — температура ионов) и $\omega_H \Omega_H \gg \nu_{em} \nu_{im} (1 + \Omega_H^2 / \nu_{im}^2)$, которые предполагаются здесь выполненными, дается формулой [21, 22]

$$D_{\perp} = \frac{T_e \nu_e}{m \omega_H^2}. \quad (18)$$

Следует отметить, что в уравнении (17) мы пренебрегли также влиянием термодиффузии. Это справедливо, если характерный поперечный масштаб изменения температуры электронов превышает соответствующий масштаб изменения плотности плазмы в канале, либо если изменения температуры T_e достаточно малы. Последнее реализуется, например, в случае, когда величина T_e близка к «пробойному» значению T_e^* , определяемому соотношением

$$\nu_i(T_e^*) = \nu_a(T_e^*) + \alpha(T_e^*) N_0. \quad (19)$$

(при этом, очевидно, $q_{ext} = 0$).

Уравнения (12), (17) совместно с соотношениями (13), (14), (16) позволяют исследовать стационарные самосогласованные распределения поля и плазмы, возникающие в невозмущенной (фоновой) плазменной среде при распространении интенсивных свистовых волн вследствие ионизационных нелинейных эффектов. Результаты решения данных уравнений в значительной степени определяются зависимостями входящих в них величин от температуры T_e и других факторов. Поэтому для получения каких-либо результатов необходимо конкретизировать эти зависимости.

3. САМОСОГЛАСОВАННЫЕ РАСПРЕДЕЛЕНИЯ ПОЛЯ И ПЛАЗМЫ

В настоящей работе мы ограничимся рассмотрением ионизационных эффектов, имеющих место в воздухе при типичных разрядных температурах, $T_e \leq 3$ эВ. В этом случае температурные зависимости величин, входящих в (16), (17), могут быть описаны следующими модельными выражениями [21, 23]:

$$\begin{aligned} \nu_e &= 1.23 \cdot 10^{-7} N_m T_e^{\mu}, \\ \nu_i &= 2.7 \cdot 10^{-8} N_m \left(\frac{T_e}{I} \right)^{1/2} \left(1 + 2 \frac{T_e}{I} \right) \exp \left(- \frac{I}{T_e} \right), \\ \nu_a &= \beta_a N_m, \quad \alpha = 5 \cdot 10^{-7} \left(\frac{0.026}{T_e} \right)^{\lambda}, \end{aligned} \quad (20)$$

в которых величины ν_e, ν_i, ν_a выражены в с^{-1} , T_e — в эВ, α — в $\text{см}^3 \cdot \text{с}^{-1}$, концентрация нейтральных молекул N_m — в см^{-3} ; I — эффективный потенциал ионизации нейтральных молекул, далее принимаемый равным $I = 14$ эВ. Коэффициент прилипания β_a , а также величины μ, λ и δ_{em} в рассматриваемой области значений электронной температуры можно считать не зависящими от T_e : $\beta_a = 7.2 \cdot 10^{-12} \text{ см}^3 \cdot \text{с}^{-1}$, $\mu = 5/6$, $\lambda = 1.2$ [21], $\delta_{em} = 0.01$ [24].

Несмотря на использованные приближения и упрощения, уравнения (12), (17) допускают в общем случае только численное решение. Результатам численных расчетов мы предположим некоторое аналитическое рассмотрение.

Предположим, что относительные изменения плотности плазмы и температуры электронов являются малыми величинами

$$n = \frac{N - N_0}{N_0} \ll 1, \quad \Theta \equiv \frac{T_e - T_{e0}}{T_{e0}} \ll 1, \quad (21)$$

а характерный поперечный размер канала a существенно превышает диффузионную длину $(D_{\perp 0} / \alpha_0 N_0)^{1/2}$:

$$a^2 \gg D_{\perp 0} / \alpha_0 N_0. \quad (22)$$

Заметим, что в случае (21) последнее условие выполняется заведомо, если

$$(k_0 P)^2 \frac{D_{\perp 0}}{\alpha_0 N_0} \ll 1,$$

где P — нормированная постоянная распространения свистовой волны строго вдоль внешнего магнитного поля в однородной плазме с плотностью $N = N_0$ (в рассматриваемом приближении $P = \omega_{p0} / \sqrt{\omega \omega_H}$). При выполнении указанных условий можно пренебречь диффузионным членом в уравнении (17), а также вкладом продольной компоненты поля E_z в нагрев электронов²⁾. В результате из (16), (17) получаем

$$n = \frac{\Delta_0}{\alpha_0 N_0} \left(1 + \frac{q_{ext}}{\alpha_0 N_0^2} \right)^{-1} \Theta, \quad \Theta = 2 \frac{\omega^2}{\omega_H^2} \frac{|E_\varphi|^2}{E_p^2}, \quad (23)$$

где

$$\Delta_0 = T_{e0} \frac{\partial}{\partial T_e} (\nu_i - \nu_a - \alpha N_0) |_{T_e = T_{e0}}, \quad E_p^2 = 3 T_{e0} m \delta_{em} \omega^2 / e^2.$$

Здесь учтено, что при $n \ll 1$ можно положить $E_\rho \approx i E_\varphi$ (см. (13)). Очевидно, что при используемых зависимостях (20) выполняется соотношение $\Delta_0 > 0$, так что нагрев и дополнительная ионизация приводят к увеличению плотности плазмы в области сильного поля. Что касается уравнения (12), то оно здесь принимает вид

$$\Delta_\perp E_\varphi - \frac{E_\varphi}{\rho^2} + 2(k_0 P)^2 \left(n - 2 \frac{P - P}{P} \right) E_\varphi = 0. \quad (24)$$

С учетом соотношений (23) уравнение (24) можно записать таким образом:

²⁾ Для сравнительно «узкого» канала ($k_0 a r' \sim 1$), как будет ясно из дальнейшего, учет вклада компоненты E_z в нагрев электронов становится необходимым.

$$\Delta_{\perp} E_{\varphi} - \frac{E_{\varphi}}{\rho^2} + 2(k_0 P)^2 \left(\gamma^2 |E_{\varphi}|^2 - 2 \frac{p-P}{P} \right) E_{\varphi} = 0, \quad (25)$$

где

$$\gamma^2 = 2 \frac{\omega^2}{\omega_H^2} \frac{\Delta_0}{\alpha_0 N_0} \left(1 + \frac{q_{ext}}{\alpha_0 N_0^2} \right)^{-1} \frac{1}{E_p^2}.$$

Как известно (см., например, [4]), уравнение вида (25) может иметь локализованные решения, удовлетворяющие условию $E_{\varphi} \rightarrow 0$ в начале координат ($\rho \rightarrow 0$) и на бесконечности ($\rho \rightarrow \infty$). Заметим, что хотя подобное уравнение и использовалось ранее в ряде работ, посвященных самовоздействию вистлеров в бесстолкновительной магнитоактивной плазме³⁾, в рассматриваемом диапазоне частот (1) оно, как ясно из проведенного выше анализа, справедливо для каналов с повышенной плотностью только в случае (9), т. е. при учете электронных столкновений. Из уравнения (25) и соотношений (23) видно, что при самоканалировании основной свистовой моды распределение плазмы по радиусу является немонотонным и характеризуется наличием минимума плотности на оси $\rho = 0$ и окружающего приосевую область кольцевого слоя с повышенной плотностью. Любопытно, что в случае плоского (двумерного) распределения поля плотность плазмы на оси z принимает, напротив, максимальное значение. Уравнение, описывающее поведение поля в этом случае ($\partial/\partial y = 0$), можно получить из (25), если выполнить замены $(\Delta_{\perp} - \rho^{-2}) \rightarrow d^2/dx^2$, $E_{\varphi} \rightarrow E_y$. Локализованное решение соответствующего уравнения хорошо известно:

$$E_y(x) = \tilde{n}^{1/2} \gamma^{-1} \operatorname{sech}(k_0 P \tilde{n}^{1/2} x), \quad (26)$$

где $\tilde{n} = n(0)$. При этом $p = P(1 + \tilde{n}/4)$, и

$$n(x) = \tilde{n} \operatorname{sech}^2(k_0 P \tilde{n}^{1/2} x).$$

В общем случае, как уже было отмечено выше, приходится довольствоваться лишь результатами численного решения уравнений (12), (17). Введем удобные для дальнейшего рассмотрения безразмерные величины

$$\xi = \rho \left(\frac{\alpha_0 N_0}{D_{\perp 0}} \right)^{1/2}, \quad \mathcal{E}_{\rho, \varphi, z} = \frac{E_{\rho, \varphi, z}}{E_p}.$$

С учетом этих обозначений уравнения (12), (17) преобразуются к виду:

$$\begin{aligned} \frac{d^2 \mathcal{E}_{\varphi}}{d\xi^2} + \frac{1}{\xi} \frac{d \mathcal{E}_{\varphi}}{d\xi} - \frac{\mathcal{E}_{\varphi}}{\xi^2} + \Lambda^2 \left[\frac{P^4 (1+n)^2}{p^2} - p^2 \right] \mathcal{E}_{\varphi} = 0, \\ (1+\Theta)^{1+\mu} \left(\frac{d^2 n}{d\xi^2} + \frac{1}{\xi} \frac{dn}{d\xi} \right) + (1+\mu)(1+\Theta)^{\mu} \frac{dn}{d\xi} \frac{d\Theta}{d\xi} - \frac{(1+n)^2}{(1+\Theta)^{\lambda}} + \\ + \Lambda^2 \frac{\omega_H^2}{\omega^2} \frac{c^2}{\beta_{e0} (T_{e0}/m)} [(\beta_i - \beta_a)(1+n) - (\beta_{i0} - \beta_a)] + 1 = 0, \end{aligned} \quad (27)$$

³⁾ См., в частности, работу [4] и указанные в ней ссылки.

$$\Theta = |\mathcal{E}'_z|^2 + \frac{\omega^2}{\omega_H^2} |\mathcal{E}'_\varphi|^2 \left[1 + \frac{P^4}{p^4} (1+n)^2 + 4 \frac{\omega}{\omega_H} \frac{P^2}{p^2} (1+n) \right],$$

$$\mathcal{E}'_z = \frac{\mathcal{E}_z}{1 - i(1+\Theta)^\mu \nu_{e0}/\omega} = -\frac{\omega}{\omega_H} \frac{1}{p\Lambda(1+n)\xi} \frac{d}{d\xi} \left(\xi(1+n)\mathcal{E}'_\varphi \right),$$

где

$$\Lambda = k_0 \left(\frac{D_{\perp 0}}{\alpha_0 N_0} \right)^{1/2}, \quad \beta_i = \nu_i N_m^{-1}, \quad \beta_{i0} = \nu_{i0} N_m^{-1}, \quad \beta_{e0} = \nu_{e0} N_m^{-1},$$

остальные обозначения — те же, что и в (20). Локализованные, ограниченные на оси $\rho = 0$ решения уравнений (27) должны удовлетворять следующим условиям:

$$\begin{aligned} n &\rightarrow 0, & \mathcal{E}'_\varphi &\rightarrow 0 & (\xi \rightarrow \infty); \\ n &\rightarrow \tilde{n} = \text{const}, & \mathcal{E}'_\varphi &\rightarrow 0 & (\xi \rightarrow 0). \end{aligned} \tag{28}$$

Состояние фоновой плазмы характеризуется безразмерными параметрами ω_{p0}/ω , ω_H/ω , ν_{e0}/ω , T_{e0}/I , Λ .

Анализ системы уравнений (27) показывает, что она имеет однопараметрическое семейство локализованных решений. Параметром служит величина относительного изменения плотности на оси канала $\tilde{n} = n(0) = (N(0) - N_0)/N_0$. На рис. 3 приведены зависимости $n(\xi)$ и $\Theta(\xi)$, полученные в результате численного решения данной системы для трех значений \tilde{n} : $\tilde{n} = 0.5$, $\tilde{n} = 0.6$ и $\tilde{n} = 0.7$ при заданных величинах $\omega_{p0}/\omega = 56.5$, $\omega_H/\omega = 8.8$, $\nu_{e0}/\omega = 0.08$, $T_{e0}/I = 0.03$, $\Lambda = 1.46 \cdot 10^{-2}$. Как показывают расчеты, для указанных \tilde{n} имеет место самоканалирование только основной моды, действительная постоянная распространения которой принимает следующие значения: $p = 20.62$ ($\tilde{n} = 0.5$), $p = 20.68$ ($\tilde{n} = 0.6$), $p = 20.76$ ($\tilde{n} = 0.7$). Из представленных данных видно, что характерный поперечный масштаб распределения температуры электронов заметно превышает соответствующий масштаб изменения плотности плазмы, что оправдывает

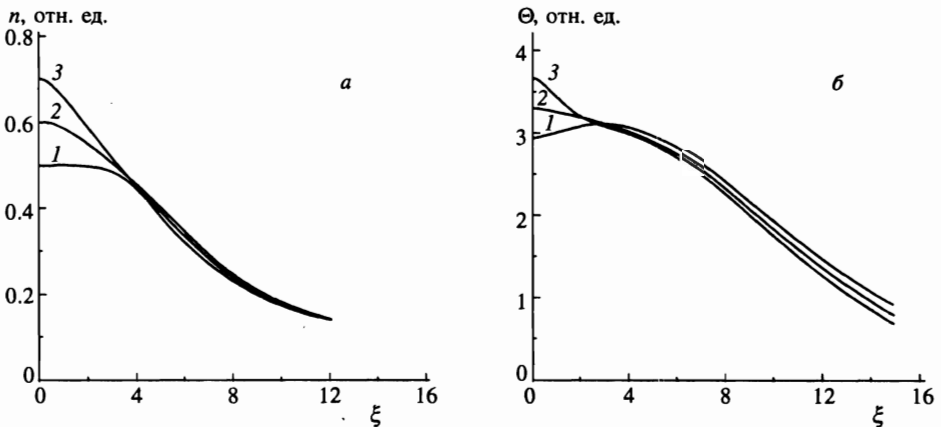


Рис. 3. Самосогласованные распределения относительных возмущений плотности (а) и температуры электронов (б) при $\omega_{p0}/\omega = 56.5$, $\omega_H/\omega = 8.8$, $\nu_{e0}/\omega = 0.08$, $T_{e0}/I = 0.03$, $\Lambda = 1.46 \cdot 10^{-2}$: 1 — $\tilde{n} = 0.5$, 2 — $\tilde{n} = 0.6$, 3 — $\tilde{n} = 0.7$

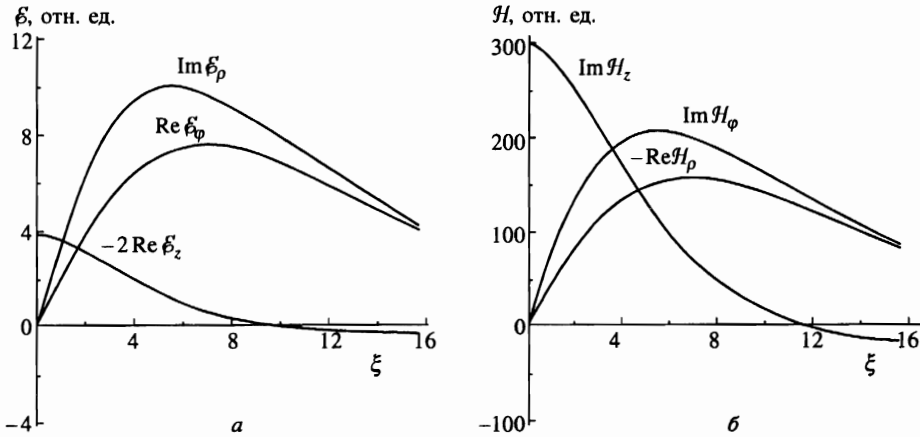


Рис. 4. Самосогласованные распределения компонент поля вистлера при $\tilde{n} = 0.7$. Значения остальных параметров те же, что и на рис. 3

пренебрежение вкладом термодиффузии в формирование профиля плотности. Заметим, что с увеличением \tilde{n} ширина распределения Θ по радиусу уменьшается, так что при достаточно больших значениях \tilde{n} ($\tilde{n} > 2 \div 3$) учет термодиффузии становится необходимым. При малых \tilde{n} ($\tilde{n} < 0.5$) профиль $n(\xi)$ является немонотонным ($\tilde{n} < n_{max}$), как уже отмечалось при анализе упрощенного уравнения (25).

Поведение нормированных компонент поля $\mathcal{E}_{\rho,\varphi,z} = E_{\rho,\varphi,z}/E_p$, $\mathcal{H}_{\rho,\varphi,z} = H_{\rho,\varphi,z}/E_p$ при значениях параметров, отвечающих кривым 3 на рис. 3, иллюстрирует рис. 4. Опираясь на результаты расчета компонент поля, нетрудно определить протяженность $L \sim 1/h''$ плазменного канала, если воспользоваться известной энергетической формулой [25] для постоянной затухания волноводной моды h'' :

$$h'' = k_0 p'' = Q/2W_{\perp}$$

(здесь W_{\perp} — мощность, переносимая через поперечное сечение канала, Q — погонная мощность потерь). Для приведенных на рис. 3 распределений протяженность канала L и его характерный радиус a оказываются связанными соотношением⁴⁾ $L \gtrsim a\omega_H/\nu_e$, так что $L \gg a$, и

$$\left| D_{\parallel} \frac{\partial^2 N}{\partial z^2} / D_{\perp} \Delta_{\perp} N \right| < \frac{D_{\parallel, max}}{D_{\perp}} \frac{a^2}{2L^2} \lesssim 0.5$$

(D_{\parallel} — коэффициент диффузии плазмы вдоль внешнего магнитного поля, $D_{\parallel, max} = T_e/m\nu_e$). Последнее неравенство оправдывает использование уравнения баланса плотности плазмы в упрощенном виде (17).

Следует отметить, что сопоставление самосогласованных распределений поля (рис. 4), рассчитанных в рамках используемой модели, с распределениями поля, полученными из строгих уравнений (2) для заданных («замороженных») профилей $N(\rho)$, $\nu_e(\rho)$, взятых из решения нелинейной задачи, показало их хорошее согласие друг

⁴⁾ Здесь и далее величина a отвечает относительному возмущению плотности $n(a) = n_{max}/2$.

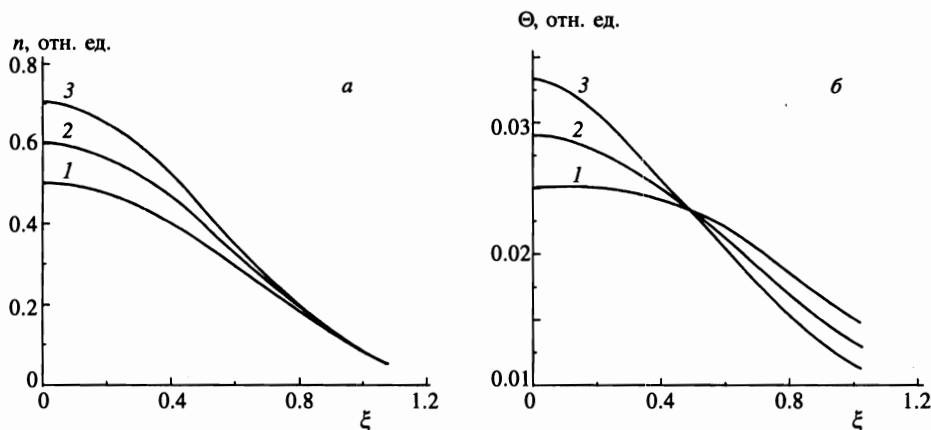


Рис. 5. Самосогласованные распределения относительных возмущений плотности (а) и температуры электронов (б) при $\omega_{p0}/\omega = 56.5$, $\omega_H/\omega = 8.8$, $\nu_{e0}/\omega = 0.25$, $T_{e0}/I = 0.14$, $\Lambda = 0.15$: 1 — $\tilde{n} = 0.5$, 2 — $\tilde{n} = 0.6$, 3 — $\tilde{n} = 0.7$

с другом. Это объясняется, очевидно, тем, что для представленных на рис. 3 и 4 результатов с достаточным запасом выполняются условия применимости приближенного описания поля на основе формул (12)–(14). Например, при $\tilde{n} = 0,7$ ($k_0a = 5.5\Lambda$, $\nu_e(0)/\omega = 0.29 \gg p''/p'$) имеем (ср. с (6))

$$k_0ap' \frac{\omega_H \nu_e(0)}{\omega^2} = 4.25.$$

Таким образом, можно утверждать, что полученные локализованные решения удовлетворяют всем указанным выше условиям и описывают ионизационное самоканалирование свистовых волн в магнитоактивной столкновительной плазменной среде.

Приведенные выше результаты относятся к случаю $T_{e0} < T_e^*$ ($q_{ext} \neq 0$). Не вдаваясь в подробности, остановимся на другой возможной ситуации, когда $T_{e0} = T_e^*$ ($q_{ext} = 0$). На рис. 5 представлены самосогласованные распределения $n(\xi)$ и $\Theta(\xi)$ для этого случая, отвечающие значениям $\tilde{n} = 0.5$ ($p = 20.36$), $\tilde{n} = 0.6$ ($p = 20.52$), $\tilde{n} = 0.7$ ($p = 20.68$) ($\nu_{e0}/\omega = 0.25$, $T_{e0}/I = 0.14$, $\Lambda = 0.15$, значения ω_{p0}/ω , ω_H/ω — прежние). Как видно из рис. 5, относительные изменения температуры Θ оказываются здесь значительно меньшими по сравнению с аналогичными зависимостями, показанными на рис. 3б. Что же касается структуры поля, то она остается примерно такой же, как и в предыдущем случае $T_e < T_e^*$ (см. рис. 4), и поэтому не приводится.

На основе полученных результатов можно оценить некоторые параметры ионизационного самоканалирования вистлеров в лабораторной плазме. Так, распределениям, приведенным на рис. 3 и 4, отвечают, например, значения $N_0 = 4 \cdot 10^{10} \text{ см}^{-3}$ ($\omega_{p0} = 1.13 \cdot 10^{10} \text{ с}^{-1}$), $H_0 = 100 \text{ Э}$ ($\omega_H = 1.76 \cdot 10^9 \text{ с}^{-1}$), $\omega = 2 \cdot 10^8 \text{ с}^{-1}$, $\nu_{e0} = 1.6 \cdot 10^7 \text{ с}^{-1}$, $T_{e0} = 0.4 \text{ эВ}$ (необходимое давление газа при комнатной температуре равно здесь $p = 8.7 \cdot 10^{-3} \text{ Торр}$). В случае $\tilde{n} = 0.7$ ($N(0) = 6.8 \cdot 10^{10} \text{ см}^{-3}$, $T_e(0) = 1.9 \text{ эВ}$, $\nu_e(0) = 5.8 \cdot 10^7 \text{ с}^{-1}$) получаем следующие значения основных параметров: длина волны вистлера $\lambda_w = 2\pi/(k_0p) \simeq 45 \text{ см}$, радиус канала $a \simeq 12 \text{ см}$ ($n(a) = 0.5n_{max}$), максимальное поле в разряде $|E|_{max} \simeq 6.4 \text{ В/см}$, переносимая через поперечное сечение канала мощность $W_{\perp} \simeq 1.5 \text{ кВт}$. Приведенные цифры свидетельствуют о возможности лабо-

раторного моделирования рассмотренного эффекта в современных крупномасштабных плазменных установках (см., например, [9, 26]).

4. ЗАКЛЮЧЕНИЕ

Проведенное рассмотрение позволяет утверждать, что дополнительная ионизация столкновительной магнитоактивной плазмы при нагреве ее электронов полем вистлера достаточно большой амплитуды может приводить к образованию плазменно-волноводных структур, которые захватывают и направляют создающие их свистовые волны. Из результатов настоящей работы видно, что такое ионизационное самоканалирование вистлеров в столкновительной плазме существенно отличается от их самовоздействия в плазме бесстолкновительной, когда формирование каналов обусловлено наличием пондеромоторной силы, создаваемой полем свистовой волны [4, 5]. Качественно изученный здесь эффект напоминает самовоздействие геликонов при нагреве твердотельной плазмы [27].

Наконец, заметим, что использованный нами подход, а также некоторые конкретные результаты выполненного рассмотрения представляют интерес не только в связи с возможностью соответствующих экспериментов (как натуральных, так и модельных лабораторных) в плазме ионосферного типа, но также для выяснения той роли, которую ионизационное самовоздействие вистлеров может играть в ограниченных системах, таких, например, как геликонные источники плазмы и основанные на них устройства.

Авторы признательны Российскому фонду фундаментальных исследований за финансовую поддержку (проект 95-02-05816 а). Работа одного из авторов (А. В. К.) была также поддержана INTAS (грант 93-2492-ext) в рамках исследовательской программы Международного центра фундаментальной физики в Москве.

Литература

1. А. Г. Литвак, ЖЭТФ 57, 629 (1969).
2. Н. Washimi, J. Phys. Soc. Jap. 34, 1373 (1973).
3. Г. А. Марков, В. А. Миронов, А. М. Сергеев и др., ЖЭТФ 80, 2264 (1981).
4. V. I. Karpman, R. N. Kaufman, and A. G. Shagalov, J. Plasma Physics 31(2), 209 (1984).
5. В. И. Карпман, А. Г. Шагалов, ЖЭТФ 87, 422 (1984).
6. Г. А. Марков, Физика плазмы 14, 1094 (1988).
7. Г. Ю. Голубятников, С. В. Егоров, А. В. Костров и др., ЖЭТФ 96, 2009 (1989).
8. Ю. Н. Агафонов, В. С. Бажанов, В. Я. Исякаев и др., Письма в ЖЭТФ 52, 1127 (1990).
9. J. M. Urrutia and R. L. Stenzel, Phys. Rev. Lett. 67, 1867 (1991).
10. Т. М. Заборонкова, А. В. Костров, А. В. Кудрин и др., ЖЭТФ 102, 1151 (1992).
11. R. A. Helliwell, *Whistlers and related ionospheric phenomena*, Univ. press, Stanford (1965).
12. Т. М. Заборонкова, И. Г. Кондратьев, А. В. Кудрин, Изв. вузов. Радиофизика 37, 887 (1994).
13. R. W. Boswell, Plasma Phys. Control. Fusion 26, 1147 (1984).
14. F. F. Chen, J. Vac. Sci. Technol. A 10, 1389 (1991).
15. Н. Ф. Воробьев, А. А. Рухадзе, Физика плазмы 20, 1065 (1994).
16. K. P. Shamrai and V. B. Taranov, Plasma Sources Sci. Technol. 5, 474 (1996).
17. M. J. Laird and D. Nunn, Planet. Space Sci. 23, 1649 (1975).

18. В. Л. Гинзбург, *Распространение электромагнитных волн в плазме*, Наука, Москва (1967).
19. Т. М. Заборонкова, А. В. Кудрин, Г. А. Марков, *Физика плазмы* **19**, 769 (1993).
20. А. С. Кингсеп, К. В. Чукбар, В. В. Яньков, в сб. *Вопросы теории плазмы*, под. ред. Б. Б. Кадомцева, Энергоатомиздат, Москва (1987), с. 209.
21. А. В. Гуревич, А. Б. Шварцбург, *Нелинейная теория распространения радиоволн в ионосфере*, Наука, Москва (1973).
22. В. А. Рожанский, Л. Д. Цендин, *Столкновительный перенос в частичноионизованной плазме*, Энергоатомиздат, Москва (1988).
23. Ю. П. Райзер, *Физика газового разряда*, Наука, Москва (1987).
24. Г. Месси, Е. Бархоп, *Электронные и ионные столкновения*, ИИЛ, Москва (1958).
25. Л. А. Вайнштейн, *Электромагнитные волны*, Радио и связь, Москва (1988).
26. Г. Ю. Голубятников, С. В. Егоров, Б. Г. Еремин и др., *ЖЭТФ* **107**, 441 (1995).
27. З. К. Янкаускас, *Письма в ЖЭТФ* **39**, 189 (1984).